

规模化猪场六种绿化植物春季的光合特性研究

王少军^{1,2},牛明芬¹,张迪^{1,2},鲁彩艳²,史奕²

(1. 沈阳建筑大学市政与环境工程学院,沈阳 110168; 2. 中科院沈阳应用生态研究所陆地生态过程重点实验室,沈阳 110016)

摘要:采用 Li-6400 便携式光合测定仪在春季晴朗、无风的条件下对辽宁阜新市祖代原种猪场 6 种绿化植物的净光合速率、蒸腾速率、气孔导度、胞间 CO₂ 浓度进行了分析测定。研究结果表明,6 种绿化植物日平均净光合速率的大小顺序为苹果梨 > 南果梨 > 白丁香 > 银中杨 > 小叶杨 > 紫丁香;小叶杨、银中杨、苹果梨、白丁香的净光合速率日变化曲线为双峰型,紫丁香、南果梨的净光合速率日变化曲线为单峰型,均存在明显的光合“午睡”现象。6 种绿化植物日平均蒸腾速率的大小顺序为苹果梨 > 南果梨 > 白丁香 > 银中杨 > 紫丁香 > 小叶杨;小叶杨、苹果梨、南果梨、紫丁香的蒸腾速率日变化曲线均为双峰型,而白丁香和银中杨为单峰型。6 种绿化植物的胞间 CO₂ 浓度日变化幅度很大。

关键词:光合速率;蒸腾速率;日变化

中图分类号:X173 文献标识码:A 文章编号:1672-2043(2010)增刊-0064-05

Photosynthetic Characteristics of Six Green Plants at Spring Time in Pig Farm Area

WANG Shao-jun^{1,2}, NIU Ming-fen¹, ZHANG Di^{1,2}, LU Cai-yan², SHI Yi²

(1. Shenyang Jianzhu University, Shenyang 110168, China; 2. Key Laboratory of Terrestrial Ecological Process, Institute of Applied Ecology, Chinese Academy of Sciences, Shenyang 110016, China)

Abstract: In order to study the photosynthetic characteristics of Xiao yang tree, *Populus alba*, Apple pear, An fruit pear, *Passer montanus saturatus Stejneger*, *Syringa oblata Lindl* and provide theoretical support for their scientific planting, the diurnal variation of net photosynthetic rate, transpiration rate, stomata conductance and intercellular carbon dioxide concentration were measured by Li-6400 portable photosynthesis instrument. The results showed that the diurnal courses of photosynthesis in Xiao yang tree, *Populus alba*, Apple pear and An fruit pear were double peaks, but the others were single peak. The order of photosynthesis rate was Apple pear > An fruit pear > *Passer montanus saturatus Stejneger* > *Populus alba* > Xiao yang miao > *Syringa oblata Lindl*. And the sequence of transpiration rate was Apple pear > An fruit pear > *Passer montanus saturatus Stejneger* > *Populus alba* > Xiao yang tree > *Syringa oblata Lindl*. The transpiration rate of Xiao yang tree, Apple pear, An fruit pear and *Syringa oblata Lindl* were double peaked, *Passer montanus saturatus Stejneger* and *Populus alba* were single peaked. The intercellular carbon dioxide concentration of the six green plants was changed greatly.

Keywords: photosynthetic rate; transpiration rate; diurnal change

目前,国内外关于城市绿化植物、城市森林等在改善城市环境中的重要作用的研究已经比较深入。植物通过光合作用,每吸收 1 t 二氧化碳,就能输出 0.75 t 氧气^[1]。同时植物可以通过蒸腾作用来调节

空气湿度,由于水分蒸腾散发过程中吸收大量的热,可使城市局部环境的温度下降,湿度增加,从而改变小气候,对自然环境的保护和改善起着重要的作用。研究表明,绿化植物特别是乔木的降温效果很明显,成片树荫下的气温比草坪要低 5℃ 左右^[2]。城市绿化植物还具有吸收有害气体和粉尘,杀菌以及隔离噪声的作用。

基金项目:“十一五”国家科技支撑项目(2007BAD71B06)

作者简介:王少军(1987—),男,安徽巢湖人,硕士研究生,研究方向为环境污染控制与治理。E-mail:jiaojaoboycom@126.com

通讯作者:史奕 E-mail:shiyi@iae.ac.cn

目前,现代养殖场发展的趋势是集约化、工厂化和规模化,其显著特点是畜禽饲养高度集中,群体规模和饲养密度大。因此,现代养殖场的大量粪尿及臭味导致的环境污染问题已为大众瞩目。为提高养殖场效益,积极推广和应用新技术,采取综合措施以清除或减少恶臭的危害是一项重要的工作,而关于绿化植物种植对改善现代养殖场周围环境的研究较少。据报道,养殖场周围地区种植绿化树种,其在生长过程中能够从空气中吸收氨气以满足自身对氮素的需要,既可以降低场区氨气浓度,减少空气污染,又能够为植物自身提供氮素养分,减少施肥量并促进植物生长。研究表明,合理植树绿化可以阻留净化 25%~40% 的有害气体和吸附 35%~67% 的粉尘,使臭恶强度下降 50%^[3]。在现代化养殖场区种植绿化树种对美化环境、防风遮阴、调节空气温、湿度变化及改善场区生态环境均具有重要作用。乔木树种树冠浓郁,尤其在炎热的夏季可形成独特的小气候,对改善周围环境和空气温、湿度的调节作用较为明显^[4~7]。

本试验以阜新祖代原种猪场作为研究对象,对场区内 6 种主要绿化树种的光合速率、蒸腾速率、光合有效辐射、气孔导度、胞间 CO₂ 浓度等指标进行分析测定,探讨规模化猪场内 6 种主要绿化树种的生态功能,以期为猪场场区内适宜的、具有较好环境效益的绿化树种的选择提供科学依据。

1 材料与方法

1.1 自然概况

研究区位于辽宁省西北部阜新县三家子村祖代原种猪场 (121°01'~122°26'E, 41°44'~42°34'N), 属低山丘陵区, 整个地势由西北向东南倾斜, 相对高差为 785.6 m。属北温带半干旱大陆性季风气候区, 多年平均日照数 2 865.5 h, 太阳总辐射量 579.9 kJ·cm⁻², 年均气温 7.2 ℃, 全县大于或等于 10 ℃的活动积温 3 298.3 ℃, 有效积温 607.3 ℃, 无霜期 150 d 左右。多年平均降水量为 500 mm, 5—9 月降水量 425 mm, 占全年的 85%。雨热同季, 四季分明。

阜新祖代原种猪场总占地面积约 133 hm², 建有 4 个分厂, 猪舍面积 3.6 万 m², 年产万头瘦肉猪, 每个分厂都建有独立的化粪池。每年产生大量粪污水, 这些粪污水长期堆积会产生 NH₃、H₂S 等恶臭气体, 造成严重的大气污染, 给场区及周围环境造成危害。

1.2 试验方法

试验于 2009 年 5 月 17 日在辽宁省阜新市三家

子村祖代原种猪场进行。首先对祖代原种猪场场区绿化植物进行实地调查, 在已栽植的 17 种乔灌木中, 选取占比例较大的 6 种绿化树种, 即小叶杨 (*Populus simonii Carr.*)、银中杨 (*Populus alba × berolinensis*)、苹果梨 (*Pyrus ussuriensis Maxim. f.*)、南果梨 (*Pyrus ussuriensis Maxim.*)、白丁香 (*Passer montanus saturatus Stejneger*) 和紫丁香 (*Syringa oblata Lindl.*) 作为供试树种, 所选植株均为成年健康植株。采用 LI-6400 便携式光合测定仪在每日 7:00—19:00 每隔 2 h 测量一次。每一树种选 3 株健康植株, 在晴朗、无风的情况下, 随机选取每株树木上 4 片向阳面中部的叶片进行测定, 待系统稳定后, 记录数值, 进行瞬时光合速率 (*Pn*)、蒸腾速率 (*Tr*)、气孔导度 (*Gs*)、胞间 CO₂ 浓度 (*Ci*)、光合有效辐射 (*PAR*) 的测定。

所有数据均使用 Excel 2003 和 SPSS 16.0 软件进行分析与处理。

2 结果与分析

2.1 净光合速率日变化

植物净光合速率可用来评价植物同化能力的强弱, 净光合速率越大, 同化能力越强, 植物的固碳释氧能力也就越强^[8~9]。植物生长在某种环境下, 与外界环境之间不断进行着物质和能量的交换。由于影响光合速率的环境因子在一日内不断发生变化, 净光合速率也会随之变化并呈现出相应的变化规律。

由图 1 可知, 银中杨、苹果梨、白丁香、小叶杨的净光合速率日变化曲线为双峰型曲线, 而南果梨、紫丁香的净光合速率日变化曲线为单峰型曲线。小叶杨、白丁香的第一个峰值均出现在 9:00 左右, 峰值分别为 4.08 和 10.16 μmol·m⁻²·s⁻¹, 其第二个峰值分别出现在 13:00 和 15:00 左右, 峰值为 3.55 μmol·m⁻²·s⁻¹ 和 5.8 μmol·m⁻²·s⁻¹。苹果梨的第一个峰值出现在 13:00 左右, 峰值为 8.32 μmol·m⁻²·s⁻¹, 银中杨的第一个峰值出现在 11:00 左右, 峰值为 4.58 μmol·m⁻²·s⁻¹; 银中杨和苹果梨的第二个峰值出现在 17:00, 峰值分别为 2.67、6.23 μmol·m⁻²·s⁻¹。南果梨、紫丁香的峰值也都出现 17:00 左右, 分别为 5.85、3.71 μmol·m⁻²·s⁻¹。

就全日净光合速率来看, 所有树种早晨 7:00 的净光合速率较大, 而晚 19:00 大都在 0 左右, 晚 19:00 银中杨的净光合速率为 -2.82 μmol·m⁻²·s⁻¹, 为全日最低, 这可能与辽宁西北地区的地理位置相关, 光照时间在早晨 6:00 点到晚 18:00 点左右。中午所

有树种净光合速率都有明显的降低,由于晴天中午长时间高光强日照,空气干燥和土壤干旱等原因造成光合“午休”现象^[10-11]。光合“午休”现象是由多种综合因素影响的结果,研究表明绿化树种的净光合速率降低时,其气孔导度也降低,光合“午休”现象应属于气孔导度限制因素。晴天中午日照很强,气温过高,植物的蒸腾速率很大,叶片失水较快,导致气孔关闭,胞间CO₂浓度降低,从而导致净光合速率降低^[12-14]。

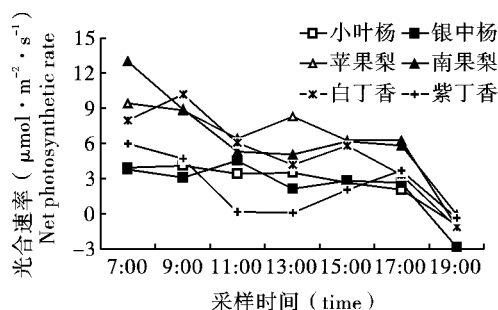


图1 6种主要绿化树种净光合速率日变化

Figure 1 Diurnal changes of net photosynthetic rate in six green plants

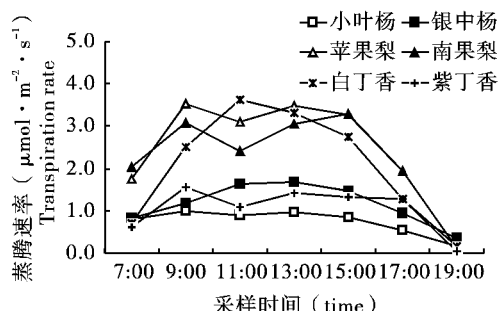


图2 6种主要绿化树种蒸腾速率日变化

Figure 2 Diurnal changes of transpiration rate diurnal changes in six green plants

2.2 蒸腾速率日变化

植物的蒸腾速率可判断植物蒸腾总量的大小,蒸腾总量越大,降温增湿效果越好^[15-16]。在一日中,由于光合有效辐射的变化,进而引起植物周围环境的温度、湿度等环境因子以及叶片气孔调节的改变,导致植物的蒸腾速率也呈现出相应的变化。

由图2可知,小叶杨、苹果梨、南果梨、紫丁香的蒸腾速率日变化曲线为双峰型曲线,小叶杨、苹果梨、南果梨、紫丁香的第一个峰值均出现在9:00左右,峰值分别为0.98、3.53、3.08和1.57 μmol · m⁻² · s⁻¹;小叶杨、紫丁香的第二个峰值出现在13:00左右,峰值分别为0.98和1.43 μmol · m⁻² · s⁻¹;而南果梨的

第二个峰值出现在15:00左右,峰值为3.30 μmol · m⁻² · s⁻¹,苹果梨的第二个峰值出现在13:00至15:00之间,峰值为3.45 μmol · m⁻² · s⁻¹。银中杨和白丁香的蒸腾速率日变化曲线为单峰型曲线,峰值分别出现在13:00和11:00左右,峰值为1.68和3.63 μmol · m⁻² · s⁻¹。小叶杨、苹果梨、南果梨、紫丁香的蒸腾速率日变化曲线的峰值分别出现在上午和下午,银中杨和白丁香的蒸腾速率日变化曲线的峰值均出现在中午,这种结果是蒸腾速率受光合有效辐射影响进而影响气孔的调节^[17-19]。

2.3 胞间CO₂浓度日变化

由图3可知,6种绿化树种的胞间CO₂浓度(Ci)日变化幅度很大,尤其是下午的变化与净光合速率(Pn)和气孔导度(Gs)相反。中午6种绿化树种胞间CO₂浓度都降低,小叶杨、苹果梨呈现出较明显的“V”型曲线,最低值出现在13:00到15:00之间,最低值分别为76.01和117.46 μmol · m⁻² · s⁻¹;而银中杨、南果梨、白丁香、紫丁香在上午的变化不大,在17:00左右胞间CO₂浓度急剧增加。苹果梨、南果梨、小叶杨、银中杨、白丁香、紫丁香这6种猪场绿化树种胞间CO₂浓度日变化曲线出现低谷的时间都比较接近,在7:00附近的浓度不高。这是由于植物此时的净光合速率大,所消耗胞间CO₂多;而在17:00的变化幅度很大,这与早晚大气CO₂浓度较高,大气温度和湿度都比较适宜,叶片气孔开放,进入细胞的CO₂较多;而早晚光合作用较弱,碳同化所消耗的CO₂较少,所以胞间CO₂浓度较高^[20]。中午大气中CO₂浓度的降低,同时由于温度、湿度及气孔部分关闭的原因,进入细胞的CO₂浓度减少,另外光合作用增强,碳同化所消耗的CO₂增多,胞间CO₂浓度减少^[21]。

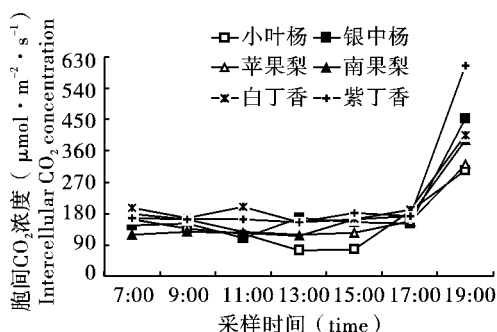


图3 6种主要绿化树种胞间CO₂浓度日变化

Figure 3 Diurnal changes of Intercellular carbon dioxide intensity in six green plants

2.4 气孔导度日变化

植物叶片气孔导度的变化会影响蒸腾速率,进而影响植物的降温增湿效果。

由图4可知,苹果梨、丁香、白丁香的气孔导度日变化曲线为双峰型曲线,苹果梨、白丁香、紫丁香均在9:00出现第一个峰值,峰值分别为 $88.59\text{ }\mu\text{mol}\cdot\text{m}^{-2}\cdot\text{s}^{-1}$ 、 $53.36\text{ }\mu\text{mol}\cdot\text{m}^{-2}\cdot\text{s}^{-1}$ 和 $99.77\text{ }\mu\text{mol}\cdot\text{m}^{-2}\cdot\text{s}^{-1}$;在中午都出现一个较低的水平,而后苹果梨在13:00出现第二个峰值,峰值为 $73.91\text{ }\mu\text{mol}\cdot\text{m}^{-2}\cdot\text{s}^{-1}$;白丁香在15:00出现第二个峰值,峰值为 $66.88\text{ }\mu\text{mol}\cdot\text{m}^{-2}\cdot\text{s}^{-1}$;紫丁香在17:00出现第二个峰值,峰值为 $39.97\text{ }\mu\text{mol}\cdot\text{m}^{-2}\cdot\text{s}^{-1}$,之后这3种植物的气孔导度都一直降低。南果梨从早上7:00开始下降,到11:00左右开始回升,至17:00左右出现峰值,峰值为 $60.75\text{ }\mu\text{mol}\cdot\text{m}^{-2}\cdot\text{s}^{-1}$,之后一直降低。小叶杨、银中杨的气孔导度日变化曲线为单峰型曲线,分别在9:00和11:00出现峰值,峰值分别为 $30.71\text{ }\mu\text{mol}\cdot\text{m}^{-2}\cdot\text{s}^{-1}$ 和 $39.41\text{ }\mu\text{mol}\cdot\text{m}^{-2}\cdot\text{s}^{-1}$,而后一直呈下降趋势。小叶杨、银中杨、苹果梨、南果梨、白丁香、紫丁香6种绿化树种气孔导度日变化曲线图表明,由于光合有效辐射的变化对蒸腾速率产生了影响,从而对叶片气孔产生调节,进而影响气孔导度^[22]。

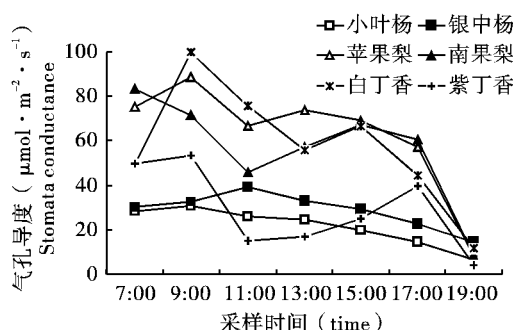


图4 6种主要绿化树种气孔导度日变化

Figure 4 Diurnal changes of Stomata conductance
diurnal changes in six green plants

3 结论

本研究结果表明,银中杨、苹果梨、白丁香、小叶杨的净光合速率日变化曲线均为双峰型曲线,而南果梨、紫丁香的净光合速率日变化曲线均为单峰型曲线;小叶杨、苹果梨、南果梨、紫丁香的蒸腾速率日变化曲线均为双峰型曲线,银中杨和白丁香的蒸腾速率日变化曲线均为单峰型曲线。6种绿化树种日平均净光合速率的大小顺序为苹果梨>南果梨>白丁香>银中杨>小叶杨>紫丁香,蒸腾速率为苹果

梨>南果梨>白丁香>银中杨>紫丁香>小叶杨。苹果梨和南果梨的光合速率和蒸腾速率均较高,是较为适宜的具有较好环境效益的绿化树种。

参考文献:

- [1] 孙晓璐,李孟波,阎阳.浅议植物在生态园林中的功能和作用[J].河北建筑工程学院学报,2008,26(3):53-54,60.
SUN Xiao-lu, LI Meng-bo, YAN Yang. On the function of plant ecological landscape[J]. Journal of Hebei Institute of Architecture and Civil Engineering, 2008, 26 (3):53 - 54,60.
- [2] 莫健彬,王丽勉,秦俊,等.上海地区常见园林植物蒸腾降温增湿能力的研究[J].安徽农业科学,2007,35(30):9506-9507,9510.
MO Jian-bing, WANG Li-mian, QIN Jun, et al. Study on temperature decreasing and humidification of ornamental plants in Shanghai [J]. Journal of Anhui Agri Sci, 2007,35(30):9506 - 9507,9510.
- [3] 孙海燕,祝宁.哈尔滨市绿化树种生态功能研究[J].中国城市林业,2008,6(5):54-57.
SUN Hai-yan, ZHU Ning. Ecological functions of tree species grown in Harbin City[J]. Journal of Chinese Urban Forestry, 2008,6(5):54 - 57.
- [4] 赵萱,李海梅.11种地被植物固碳释氧与降温增湿效益研究[J].江西农业学报,2009,21(1):44-45.
ZHAO Xuan, LI Hai-mei. Study on carbon - fixing, oxygen - releasing, temperature - reducing and humidity - increasing effects of 11ground cover plants[J]. Acta Agriculturae Jiangxi, 2009,21(1):44 - 47.
- [5] 宋丽华,曹兵,吴李.银川市几种绿化树种降温增湿效应的比较[J].西北林学院学报,2009,24(3):46-48.
SONG Li-hua, CAO Bing, WU Li. Comparison of air temperature and relative humidity adjusting effects for several urban tree species in Yinchuan[J]. Journal of Northwest Forestry University, 2009,24 (3):46 - 48.
- [6] 栗辉,刘晓东,邢军会.黑龙江省森林植物园固碳释氧及降温增湿效益[J].东北林业大学学报,2008,36(11):39-40,47.
LI Hui, LIU Xiao-dong, XING Jun-hui. Functions of carbon fixation, oxygen release, temperature reduction, and humidity increase for the plants in Heilongjiang Forest Botanical Garden[J]. Journal of Northeast Forestry University, 2008,36(11):39 - 40,47.
- [7] 陆贵巧,谢宝元,谷建才,等.大连市常见绿化树种蒸腾降温的效应分析[J].河北农业大学学报,2006,29(2):65-67.
LU Gui-qiao, XIE Bao-yuan, GU Jian-cai, et al. The analysis of reducing temperature and increasing humidity of familiar afforestation tree species in Dalian city[J]. Journal of Agricultural University of Hebei, 2006,29(2):65 - 67.
- [8] 赵天宏,王美玉,张巍巍,等.大气CO₂浓度升高对植物光合作用的影响[J].生态环境,2006,15(5):1096-1100.
ZHAO Tian-hong, WANG Mei-yu, ZHANG Wei-wei, et al. Effects of elevated atmospheric carbon dioxide concentration on plant photosynthesis[J]. Journal of Ecology and Environment, 2006, 15 (5):1096 - 1100.

- [9] Ignace D D, Huxman T E. Limitations to photosynthetic function across season in *Larrea tridentata* (creosotebush) growing on contrasting soil surfaces in the Sonoran Desert [J]. *Journal of Arid Environments*, (2009), 73:626–633.
- [10] 贾虎森, 李德全, 韩亚琴. 高等植物光合作用的光抑制研究进展 [J]. 植物学通报, 2000, 17, (3):218–224.
- JIA Hu - sen, LI De - quan, HAN Ya - qin. Advances in studies on photoinhibition in photosynthesis of higher plants[J]. *Chinese Bulletin of Botany*, 2000, 17(3):218 – 224.
- [11] Emile S Gardiner, Magnus Lof, Joseph JO' Brien. Photosynthetic characteristics of *fagus sylvatica* and *quercus robur* established for stand conversion from *Picea abies* [J]. *Forest Ecology and Management*, 2009, 258: 868 – 878.
- [12] 李 烨, 崔立明, 贡 威, 等. 辽东地区 4 种林下经济植物光合特性研究 [J]. 辽宁林业科技, 2009(3):10 – 12.
- LI Ye, CUI Li - ming, GONG Wei, et al. Photosynthetic characteristics of four economical plants under - forest in eastern Liaoning[J]. *Journal of Liaoning Forestry Science & Technology*, 2009 (3):10 – 12.
- [13] 黄 娟, 吴 彤, 孔国辉, 等. 油页岩废渣地 12 种木本植物光合作用的季节变化 [J]. 植物生态学报, 2006, 30(4):666 – 674.
- HUANG Juan, WU Tong, KONG Guo - hui, et al. Seasonal changes of photosynthetic characteristics in 12 tree species introduced onto oil shale waste[J]. *Journal of Plant Ecology*, 2006, 30:666 – 674.
- [14] 杜旭华, 马 健, 彭方仁. 温室内不同茶树品种净光和速率及其生理生态因子日变化 [J]. 浙江林业科技, 2007, 27(3):32 – 33.
- DU Xu - hua, MA Jian, PENG Fang - ren. Diurnal variations of net photosynthetic rate and eco—physiological factors of tea in greenhouse [J]. *Jour of Zhejiang for Sci & Tech*, 2007, 27(3):32 – 33.
- [15] Belshe E F, Durako M J, Blum J E. Photosynthetic rapid light curves (RLC) of *Thalassia testudinum* exhibit diurnal variation [J]. *Journal of Experimental Marine Biology and Ecology*, 2007, 342: 253 – 268.
- [16] Michael J Durako, Jennifer I Kunzelman. Photosynthetic characteristics of *Thalassia testudinum* measured in situ by pulse – amplitude modulated (PAM) fluorometry: Methodological and scale – based considerations[J]. *Aquatic Botany*, 2002, 73: 173 – 185.
- [17] 李海梅, 何兴元, 陈 珮. 沈阳城市森林主要绿化树种——丁香的光合特性研究 [J]. 应用生态学报, 2004, 15(12):2245 – 2249.
- LI Hai - mei, HE Xing - yuan, CHEN Wei. Photosynthetic characteristics of main urban forest species *Syringa oblata* in Shenyang [J]. *Chin J Appl Ecol*, 2004, 15(12):2245 – 2249.
- [18] 李海梅, 何兴元, 宋 力. 3 种灌木树种光合特性及影响因子研究 [J]. 沈阳农业大学学报, 2007, 38(4):605 – 608.
- LI Hai - mei, HE Xing - yuan, SONG Li. Photosynthetic characters and impact factors of three flowering shrubs[J]. *Journal of Shenyang Agricultural University*, 2007, 38(4):605—608.
- [19] 李海梅, 何兴元, 王奎玲, 等. 沈阳城区五种乔木树种的光合特性 [J]. 应用生态学报, 2007, 18(8):1709 – 1714.
- LI Hai - mei, HE Xing - yuan, WANG Kui - ling, et al. Photosynthetic characteristics of five arbor species in Shenyang urban area[J]. *Chin J Appl Ecol*, 2007, 18(8):1709 – 1714.
- [20] 马金娥, 金则新, 张文标, 等. 蓝果树光合生理生态特性研究 [J]. 浙江林业科技, 2007, 27, (6):33 – 36.
- MA Jin - e, JIN Ze - xin, ZHANG Wen - biao, et al. Study on the diurnal changes of photosynthetic rate of *nyssa sinensis* and environmental factors[J]. *Journal of Zhejiang for Sci & Tech*, 2007, 27 (60):33 – 36.
- [21] 谢会成, 姜志林, 李际红, 等. 桤皮栎林光合特性的研究 [J]. 南京林业大学学报, 2004, 28(5):83 – 85.
- [22] 刘海荣, 宋 力, 张春锋, 等. 金银忍冬和榆叶梅春季光合特性的比较 [J]. 沈阳农业大学学报, 2006, 37(5):707 – 711.